

РОССИЙСКАЯ АКАДЕМИЯ НАУК

СИБИРСКОЕ ОТДЕЛЕНИЕ

А В Т О М Е Т Р И Я

---

№ 2

2000

УДК 681.324

О. Г. Монахов, Э. А. Монахова

(Новосибирск)

ИССЛЕДОВАНИЕ ТОПОЛОГИЧЕСКИХ СВОЙСТВ  
РЕГУЛЯРНЫХ ПАРАМЕТРИЧЕСКИ ОПИСЫВАЕМЫХ СТРУКТУР  
ВЫЧИСЛИТЕЛЬНЫХ СИСТЕМ\*

Исследуется новая топология для мультикомпьютерных систем. Класс  $R_s(N, v, g)$  параметрически описываемых регулярных графов, задаваемых полугруппами, включает в виде подклассов большинство известных однородных графов, используемых в качестве структур вычислительных систем. Оптимальные структуры имеют минимальный диаметр при заданных параметрах графа (порядке  $N$ , степени  $v$ , обхвате  $g$ , числе классов эквивалентности  $s$ ) и соответственно оптимальные характеристики по отношению к транзитным задержкам, надежности, связности и скорости коммуникаций при реализации в качестве сетей связи в многомодульных супер-ЭВМ. Графы  $R_s(N, v, g)$  и их подкласс многомерных циркулянтов сравниваются с гиперкубами: диаметр оптимальных  $R_s(N, v, g)$ -графов приблизительно равен  $0,21\log_2 N$  (при  $g = 6$ ,  $s > 1$ ), диаметр циркулянтов приблизительно равен  $0,32\log_2 N$ , в то время как диаметр гиперкубов равен  $\log_2 N$  при одинаковой вершинной и реберной сложности исследуемых графов. Синтезированы  $R_s(N, v, g)$ -графы, достигающие нижних границ диаметра.

**1. Параметрическое описание структур вычислительных систем.** Исследования ненаправленных плотных регулярных графов с малыми диаметрами являются важными для проектирования архитектур перспективных вычислительных систем (ВС) [1, 2], распределенных вычислительных сетей и надежных сетей связи. Необходимость разработки оптимальных структур ВС опирается на ряд исследований [1, 3–6], в которых показано, что наилучшими структурами по различным критериям функционирования (транзитным задержкам, надежности, связности, самодиагностируемости, скорости коммуникаций) при одинаковом числе процессоров и линий связи у каждого из них являются структуры с минимальными диаметром и средним расстоянием.

Графы с такими свойствами могут быть найдены в классе графов Кэли, в частности в классе циркулянтов графов [7, 8], и в классе графов  $R_s(N, v, g)$  [9], которые являются обобщениями циркулянтов, гиперкубов, торов, кубически связанных циклов [10], хордовых кольцевых сетей [11] и других подклассов однородных графов, описанных в литературе и реально применяемых в качестве структур ВС. Как показывает анализ зарубежных публикаций, попытки решить задачу обобщения параметрически описываемых регулярных структур предпринимаются начиная с 80-х годов. Отметим рабо-

---

\* Работа выполнена при частичной поддержке Российского фонда фундаментальных исследований (грант № 97-01-00884).

ты [12, 13], в которых авторы обобщили гиперкубы и кубически связанные циклы и получили некоторый подкласс графов  $R_s(N, v, g)$ , названный Gaussian Cubes, но уровень обобщения  $R_s(N, v, g)$ -графов не был достигнут. Актуальность обращения к графикам  $R_s(N, v, g)$  и их исследования в качестве структур ВС продиктованы также появлением суперкомпьютерных систем с числом процессоров порядка  $10^5$  и более, для которых оптимальность диаметра сети связи уже реально оказывается на основных характеристиках функционирования ВС. Отметим, что в отличие от гиперкубов графы  $R_s(N, v, g)$  имеют логарифмическую (от  $N$ ) оценку диаметра при фиксированной степени вершины.

**1.1. Постановка задачи и структуры  $L(N, v, g)$ .** В качестве структур однородных ВС в [3] был предложен класс однородных графов степени  $v$  с числом вершин  $N$  и обхватом  $g - L(N, v, g)$ -графов. Алгоритм построения графов  $L(N, v, g)$  состоит из двух этапов: построения подграфа с числом вершин  $N$  графа  $L(v, g)$ , бесконечного планарного графа степени  $v$  и обхвата  $g$ , и построения на его основе  $L(N, v, g)$ -графа. Граф называется планарным, если его можно нарисовать на плоскости так, что никакие два его ребра не пересекаются.

Способ построения  $L(v, g)$ -структур приведен в работах [3, 9]. Структуры, принадлежащие классу  $L(N, v, g)$ , образуются путем выделения из бесконечного планарного графа  $L(v, g)$ -подграфа, составляющего первые  $(k-1)$  ярусов и часть  $k$ -го яруса:  $\sum_{i=0}^{k-1} |A_i| \leq N \leq \sum_{i=0}^k |A_i|$ , где  $A_i$  – множество вершин яруса  $i$  графа  $L(v, g)$ , и дополнения множества ребер полученного подграфа до однородного графа с заданными степенью  $v$  и обхватом  $g$ .

Второй из этих этапов является алгоритмом сокращенного перебора, реализация которого требует значительных затрат машинного времени. Один из путей уменьшения времени построения графов  $L(N, v, g)$  – использование свойств симметрии этих графов. Цель данной работы – представить и исследовать подкласс графов  $L(N, v, g)$ , обладающий некоторой симметрией связей и допускающий параметрическое описание. Параметрическое описание структур ВС является компактной формой представления графа межмодульных связей по сравнению с заданием матрицей смежностей или списком и более удобно при организации работы операционной системы (распределении и загрузке заданий, реализации путевых процедур и пр.).

**1.2. Определение и свойства структур  $R_s(N, v, g)$ .**

**Определение 1.** Пусть  $R_\mu(N, v, g)$  – подкласс из класса графов  $L(N, v, g)$  с множеством вершин  $V = \{1, 2, \dots, N\}$ , множеством ребер  $E \subseteq V^2$ , группой автоморфизмов  $\text{Aut}(R)$  и отношением эквивалентности  $\mu$ , образующим такое разбиение множества вершин  $V$  на  $m \leq N$  классов  $V_i$ , что для каждой пары вершин  $k, j \in V_i$ ,  $i = 1, m$ , существует автоморфизм  $\phi \in \text{Aut}(R)$ , переводящий  $k$  в  $j$ :

$$\forall (k, j \in V_i) \exists (\phi \in \text{Aut}(R)) (\phi(k) = j).$$

Эквивалентностью  $\mu$  на множестве вершин  $V$  графа  $R_s(N, v, g)$ , которая будет рассматриваться далее, является сравнимость по модулю некоторого натурального числа  $s$ , делящего нацело  $N$ , т. е.

$$\mu = \{(a, b) \in V^2 \mid a \equiv b \pmod{s}\}, \quad (1)$$

где  $s \leq N$ ,  $N \equiv 0 \pmod{s}$ .

В этом случае, если эквивалентность  $\mu$  определяется выражением (1), обозначим  $R_\mu(N, v, g)$ -графы через  $R_s(N, v, g)$ . Выделим класс графов  $R_s(N, v)$ , включающий все графы  $R_s(N, v, g)$  с фиксированными значениями  $s, N$  и  $v$ .

Таким образом, все множество вершин  $V$  графа  $R_s(N, v)$  разбито на  $s$  классов эквивалентности  $V_i$ :

$$V_i = \{a \mid a \in V, a \equiv i \pmod{s}\},$$

где  $i = \overline{1, s}$ .

Пусть  $r = N/s$ . Из определения графов  $R_\mu(N, v, g)$  следует, что для каждой пары вершин  $a, b \in V_i$ ,  $i = \overline{1, s}$ , графа  $R_s(N, v)$  существует такой автоморфизм  $\phi \in \text{Aut}(R)$ , что  $\phi(a) = b$ , а именно:

$$b \equiv a + js \pmod{N}, \quad j = \overline{1, r}.$$

Если в графе  $R_s(N, v)$  две вершины  $a$  и  $c$  связаны ребром  $(a, c) \in E$  и  $c - a \equiv l \pmod{N}$ , где  $l$  – натуральное число и  $l < N$ , то  $l$  назовем отметкой ребра  $(a, c)$ . Заметим, что данное ребро имеет также отметку  $l' \equiv a - c \pmod{N}$ .

**Лемма 1.** Если две вершины  $a \in V_i$ ,  $i = \overline{1, s}$ , и  $c \in V$  графа  $R_s(N, v)$  связаны ребром  $(a, c) \in E$  с отметкой  $l$ , то каждой вершине  $b \in V_i$  инцидентно ребро  $(b, d) \in E$  с отметкой  $l$ .

**Следствие.** Пусть в графе  $R_s(N, v)$  вершина  $a \in V_i$ ,  $i = \overline{1, s}$ . Обозначим через  $L_i = \{l_{ik}\}$ ,  $i = \overline{1, s}$ ;  $k = \overline{1, v}$ , множество отметок ребер, инцидентных вершине  $a$ . Тогда множество отметок ребер, инцидентных любой вершине  $b \in V_i$ , есть  $L_i$ .

Доказательства лемм и теорем из пп. 1, 2 можно найти в [9].

Множество  $L = \{l_{ik}\}$ ,  $i = \overline{1, s}$ ;  $k = \overline{1, v}$ , назовем множеством отметок ребер графа  $R_s(N, v)$ . Две вершины  $a$  и  $b$  графа  $R_s(N, v)$  связаны ребром  $(a, b) \in E$ , если и только если существует такое натуральное число  $l_{ik} < N$ , где  $l_{ik} \in L$ ,  $i = \overline{1, s}$ ;  $k = \overline{1, v}$ , что  $a \equiv i \pmod{s}$  и  $b - a \equiv l_{ik} \pmod{N}$ , т. е.

$$(a, b) \in E \Leftrightarrow (\exists l_{ik} \in L)(a \equiv i \pmod{s}) \& (b - a \equiv l_{ik} \pmod{N}).$$

Таким образом, если заданы число вершин  $N$ , число классов эквивалентности  $s$  и множество отметок  $L$ , то граф  $R_s(N, v, g)$  полностью определен.

Обозначим через  $E_{ik}$  множество ребер с отметкой  $l_{ik}$ :

$$E_{ik} = \{(a, b) \in E \mid a \equiv i \pmod{s}, b \equiv a + l_{ik} \pmod{N}\},$$

где  $i = \overline{1, s}$ ;  $k = \overline{1, v}$ . Ребра из множества  $E_{ik}$  имеют также отметку

$$l_{jm} = N - l_{ik}, \tag{2}$$

где  $j \equiv i + l_{ik} \pmod{s}$ ;  $i, j = \overline{1, s}$ ;  $k, m = \overline{1, v}$ , и, следовательно, множества  $E_{jm}$  и  $E_{ik}$  совпадают.

Обозначим через  $L^*$  минимально необходимое множество отметок. Для того чтобы перейти от множества  $L$  к множеству  $L^*$ , необходимо из множест-

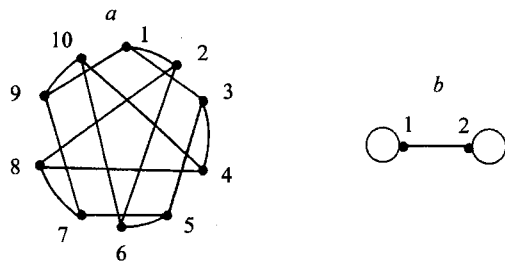


Рис. 1

ва  $L$  удалить одну из каждой пары отметок, связанных соотношением (2). Для обратного перехода от  $L^*$  к  $L$  необходимо для каждой отметки из  $L^*$  найти дополнительную отметку по соотношению (2).

Приведем некоторые свойства графов  $R_s(N, v)$ :

$$V = \bigcup_{i=1}^s V_i, V_i \cap V_j = \emptyset \text{ при } i \neq j, |V_i| = r, \text{ где } i = \overline{1, s};$$

$$E = \bigcup_{i=1}^s \bigcup_{k=1}^v E_{ik}, |E_{ik}| = r, \text{ где } i = \overline{1, s}; k = \overline{1, v}; |E| = srv/2.$$

Если вершины  $a, b \in V$  графа  $R_s(N, v)$  связаны, то

$$b - a = \sum_{i=1}^s \sum_{k=1}^v l_{ik} t_{ik} (\bmod N),$$

где  $t_{ik}$  – число ребер с отметкой  $l_{ik}$ , принадлежащих пути из  $a$  в  $b$ .

Графы  $R_s(N, v, g)$ , как было показано в [9], описываются полугруппой и изоморфны графу полугруппы преобразований классов эквивалентности.

**П р и м е р 1.** Рассмотрим граф Петерсена (рис. 1, а), у которого  $N = 10$ ,  $v = 3$ ,  $g = 5$ ,  $s = 2$ , т. е. это граф  $R_2(10, 3, 5)$  с множеством отметок  $L = \{1, 2, 8, 4, 6, 9\}$  (минимальное множество отметок  $L^* = \{1, 2, 4\}$ ).

1.3. *Связность структур  $R_s(N, v)$ .* Рассмотрим вопрос о связности графов  $R_s(N, v)$ . Пусть  $r = N/s$ . Обозначим через  $H(R)$  граф с множеством вершин  $VH = \{1, 2, \dots, r\}$  и множеством ребер  $EH$ , получающийся из графа  $R_s(N, v)$  с множеством отметок  $L$  при гомоморфизме:  $i \rightarrow j$ , где  $i \in V$ ,  $j \in VH$  и  $j = \left[ \frac{i-1}{s} \right] + 1$ ;  $[x]$  – целая часть числа  $x$ . При этом

$$(a, c) \in EH \Leftrightarrow (\exists l_{mk} \in L)(c \equiv a + b_{mk} (\bmod r)), \quad (3)$$

$$b_{mk} = \left[ \frac{d_{mk} - 1}{s} \right], \quad d_{mk} \equiv m + l_{mk} (\bmod N),$$

где  $m \in \overline{1, s}$ ;  $k \in \overline{1, v}$ ;  $d_{mk} \in \overline{1, N}$ ;  $b_{mk} \in \overline{1, r}$ .

Обозначив  $B = \{b_{mk}\}$ ,  $m \in \overline{1, s}$ ;  $k \in \overline{1, v}$ , перепишем формулу (3) в следующем виде:

$$(a, c) \in EH \Leftrightarrow (\exists b_{mk} \in B)(c \equiv a + b_{mk} (\bmod r)),$$

где  $m \in \overline{1, s}$ ;  $k \in \overline{1, v}$ .

Заметим, что полученное определение графов  $H(R)$  совпадает с определением циркулянтных графов размерности  $n = p/2$  с множеством  $B$  в качестве множества отметок, где  $p$  – степень графа  $H(R)$  при условии, что все петли исключены.

Используя теорему 1 [14], получим условие связности графа  $H(R)$ . Для того чтобы граф  $H(R)$  с числом вершин  $r$  и множеством отметок  $B$  был связным, необходимо и достаточно, чтобы числа  $\{r, B\}$  были взаимно просты.

**Пример 2.** Для графа Петерсена (см. рис. 1) графом  $H(R)$  является граф  $K_5$  – полный граф с числом вершин  $r = 5$ . В этом случае  $B = \{1, 2, 3, 4\}$ .

Обозначим через  $\Gamma(R/s)$  граф с множеством вершин  $V = \{1, 2, \dots, s\}$  и множеством ребер  $E\Gamma$ , полученный из графа  $R_s(N, v)$  с множеством отметок  $L$  при гомоморфизме  $\varepsilon: i \rightarrow j$ , где  $i \in V; j \in V$  и  $i \equiv j \pmod{s}$ , при этом

$$(a, b) \in E\Gamma \Leftrightarrow (\exists l_{mk} \in L)(a + l_{mk} \equiv b \pmod{s}) \& (a \equiv m \pmod{s}),$$

где  $m \in \overline{1, s}; k \in \overline{1, v}$ . Примем, что множество отметок ребер графа  $\Gamma(R/s)$  совпадает с множеством отметок исходного графа  $R_s(N, v)$ .

**Пример 3.** На рис. 1, б изображен граф  $\Gamma(R/2)$  графа Петерсена (см. пример 1).

Граф  $\Gamma(R/s)$  является однородным графом степени  $v$ , если исходный граф был  $R_s(N, v)$  с множеством отметок  $L$ , кроме случая, когда  $l \in L$  и  $l = N/2$ . Тогда степень вершины, которой инцидентно ребро с отметкой  $l$  в графе  $\Gamma(R/s)$ , равна  $v + 1$ .

Рассмотрим с точки зрения связности граф  $\Gamma(R/s)$ , построенный из графа  $R_s(N, v)$  с множеством отметок  $L$ . Пусть  $L' \subset L$  – такое подмножество, что для любого  $m \in \overline{1, s}$  и какого-либо  $k \in \overline{1, v}$ , если  $l_{mk} \in L'$ , то  $l_{mi} \in L'$  для всех  $i \in \overline{1, v}$ . Обозначим через  $I$  множество первых индексов отметок  $l_{mk} \in L'$ , где  $m \in \overline{1, s}; k \in \overline{1, v}$ .

**Лемма 2.** Граф  $\Gamma(R/s)$  связан тогда и только тогда, когда для каждого  $L' \subset L$  существует такая отметка  $l_{mk} \in L'$ , что  $m + l_{mk} \equiv i \pmod{s}$  и  $i \notin I$  при  $m, i \in \overline{1, s}; k \in \overline{1, v}$ .

**Теорема 1.** Граф  $R_s(N, s)$  связан тогда и только тогда, когда связны графы  $H(R)$  и  $\Gamma(R/s)$ .

#### 1.4. Параметрическое описание изоморфных структур $R_s(N, v)$ .

**Теорема 2.** Графы  $R_s(N, v)$  и  $R'_s(N, v)$  с множествами отметок соответственно  $L = \{l_{mk}\}$  и  $L' = \{l'_{ik}\}$  изоморфны, если  $l_{ik} = N - l_{mk}$  при  $i \equiv s + c - m \pmod{s}$  для  $i, m \in \overline{1, s}; k \in \overline{1, v}; c \in \overline{0, s-1}$ .

**Следствие.** Выбор значений отметок  $l \in L^*$  графа  $R_s(N, v)$  можно ограничить интервалом от 1 до  $s([r/2] + 1)$ , где  $r = N/s$ .

**Теорема 3.** Графы  $R_s(N, v)$  и  $R'_s(N, v)$  с множествами отметок соответственно  $L = \{l_{mk}\}$  и  $L' = \{l'_{ik}\}$  изоморфны, если  $l_{mk} = l'_{ik}$  при  $m \equiv i \pm c \pmod{s}$ , где  $i, m \in \overline{1, s}; k \in \overline{1, v}; c \in \overline{0, s-1}$ .

**Теорема 4.** Графы  $R_s(N, v)$  и  $R'_s(N, v)$  с множествами отметок соответственно  $L = \{l_{mk}\}$  и  $L' = \{l'_{ik}\}$  изоморфны, если  $l'_{ik} = cl_{mk} \pmod{N}$  при условии, что  $N$  и  $c$  – взаимно простые числа и  $i \equiv cm \pmod{s}$  для  $i, m \in \overline{1, s}; k \in \overline{1, v}$ .

Наряду с решением вопроса о связности и изоморфизме, с помощью параметрического описания структур ВС в [9] определена верхняя граница обхвата таких структур.

На рис. 2 приведен граф  $R_2(20, 4, 5)$  с множеством отметок  $L = \{1, 3, 4, 16; 8, 12, 17, 19\}$ .

**2. Оценки диаметра и среднего расстояния структур  $L(N, v, g)$ .** Рассмотрим свойства графов  $L(v, g)$  и  $L(N, v, g)$ , позволяющие по заданным значениям  $N, v$  и  $g$  определить нижние оценки диаметра и среднего расстояния графов  $L(N, v, g)$  и соответственно графов  $R_s(N, v, g)$ .

По определению диаметр графа  $G$   $d = \max_{ij} d_{ij}$ , где  $d_{ij}$  – длина кратчайшего пути из вершины  $i$  к вершине  $j$ . Среднее расстояние в графе  $G$   $d_{av} = \left( \sum_{ij} d_{ij} \right) / N$ .

**Лемма 3.** Пусть граф  $L(v, g)$  имеет степень  $v > 3$  и обхват  $g > 3$  либо степень  $v = 3$  и обхват  $g \geq 6$ . Тогда, если вершина  $a \in A_k$ ,  $k > 0$ , то  $a$  смежна либо с одной вершиной на ярусе  $k - 1$  и с  $v - 1$  на ярусе  $k + 1$ , либо с двумя вершинами на ярусе  $k - 1$  и с  $v - 2$  на ярусе  $k + 1$ , либо, если  $g$  нечетное, с одной вершиной на ярусе  $k - 1$ , с одной на ярусе  $k$  и с  $v - 2$  на ярусе  $k + 1$ .

Обозначим через  $x_k, z_k, y_k$  числа вершин, расположенных на ярусе  $k$ ,  $k > 0$ , имеющих вышеприведенные типы связи, в порядке их перечисления в лемме 3.

**Следствие.** Пусть граф  $L(v, g)$  имеет степень  $v > 3$  и обхват  $g > 3$ . Тогда число вершин, расположенных на ярусе  $k$ ,  $k > 0$ , определяется по следующим формулам:

$$n_k = x_k + y_k + z_k \text{ при } g \text{ нечетном, } n_k = x_k + z_k \text{ при } g \text{ четном.}$$

Установим теперь распределение величин  $x_k, y_k, z_k$  в зависимости от значений  $k, v$  и  $g$ .

**Теорема 5.** Пусть граф  $L(v, g)$  имеет степень  $v > 3$  и обхват  $g > 3$  либо степень  $v = 3$  и обхват  $g \geq 6$ , и пусть  $g = 2n + 1$ , где  $n \geq 2$  – натуральное число. Тогда распределение величин  $x_k, y_k$  и  $z_k$  в зависимости от номера яруса  $k$  определяется следующими рекуррентными соотношениями:

$$x_0 = 0, y_0 = 0, z_0 = 0 \text{ при } k = 0;$$

$$x_1 = v, y_1 = 0, z_1 = 0 \text{ при } k = 1;$$

$$x_k = x_{k-1}(v-1), y_k = 0, z_k = 0 \text{ при } 1 < k \leq n-1;$$

$$x_k = x_{k-1}(v-1)-2v, y_k = 2v, z_k = 0 \text{ при } k = n;$$

$$x_k = x_{k-1}(v-1)+(y_{k-1}+z_{k-1})(v-2)-2z_k-y_k,$$

$$y_k = 2x_{k-n}(v-2)+2(v-3)(y_{k-n}+z_{k-n}), z_k = y_{k-n}/2 \text{ при } k \geq n+1.$$

Имеет место аналогичный результат для графов с четным обхватом.

**Теорема 6.** Пусть граф  $L(v, g)$  имеет степень  $v > 3$  и обхват  $g > 3$  либо степень  $v = 3$  и обхват  $g \geq 6$ , и пусть  $g = 2n$ , где  $n \geq 2$  – натуральное число. Тогда

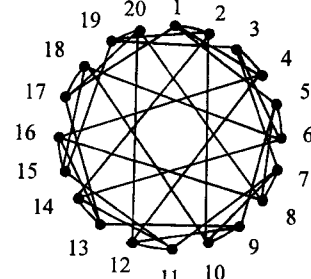


Рис. 2

распределение величин  $x_k$  и  $z_k$  в зависимости от номера яруса  $k$  определяется следующими рекуррентными соотношениями:

$$\begin{aligned}x_0 &= 0, z_0 = 0 \text{ при } k=0; \\x_1 &= v, z_1 = 0 \text{ при } k=1; \\x_k &= x_{k-1}(v-1), z_k = 0 \text{ при } 1 < k \leq n-1; \\x_k &= x_{k-1}(v-1) - 2v, z_k = v \text{ при } k=n; \\x_k &= x_{k-1}(v-1) + z_{k-1}(v-2) - 2z_k, \\z_k &= x_{k-n}(v-2) + z_{k-n}(v-3) \text{ при } k \geq n+1.\end{aligned}$$

Теоремы 5 и 6 позволяют определить нижние оценки диаметра и среднего расстояния  $L(N, v, g)$ -графов. Обозначим эти оценки соответственно  $d^*$  и  $d_{av}^*$ . Величины  $d^*$  и  $d_{av}^*$  определяются из следующих соотношений:

$$\sum_{k=0}^{d^*-1} n_k < N \leq \sum_{k=0}^{d^*} n_k, \quad d_{av}^* = \sum_{k=1}^{d^*} kn_k / N,$$

где  $n_k = x_k + y_k + z_k$ .

Из теорем 5 и 6 следует, что на всех ярусах оптимального  $L(N, v, g)$ -графа до яруса  $[g/2]$  число вершин равно максимально возможному для данного значения  $v$ . Оптимальный граф выбирается среди графов  $L(N, v, g)$  с максимально возможным для данных  $N$  и  $v$  обхватом  $g$ . Эти структуры имеют минимально возможные диаметр и среднее расстояние среди всех графов с  $N$  вершинами, степени которых равны  $v$ . Под оптимальным графиком  $R_s(N, v, g)$  (в узком смысле) понимается график с минимальными диаметром и средним расстоянием при заданных числе вершин  $N$ , степени  $v$ , обхвате  $g$  и числе классов эквивалентности  $s$ . Заметим, что выбор числа классов эквивалентности происходит в зависимости от значений  $N, v$  и  $g$  по теореме 7 [9] и ее следствиям.

Данная оптимизационная задача является задачей целочисленного программирования с нелинейной целевой функцией. Алгоритмы, предложенные авторами для решения этой задачи, образуют библиотеку алгоритмов синтеза оптимальных графов  $R_s(N, v, g)$ , включающую полный и сокращенный перебор, случайный поиск, алгоритм, использующий идею ветвей и границ, и генетический алгоритм. С помощью данных алгоритмов были получены графы  $R_s(N, v, g)$  для значений  $N \leq 16384$ ,  $v \leq 12$ ,  $g \leq 8$ ,  $s \leq 4$ . Параметрические описания некоторых графов  $R_s(N, v, g)$  приведены в табл. 1.

**3. Структуры  $R_s(N, v, g)$  с обхватом 4.** Заметим, что при  $g = 4$  класс графов  $R_s(N, v, g)$  включает такие известные сетевые топологии, как гиперкубы и циркулянтные графы.

Гиперкубы могут быть описаны как графы  $R_s(2^v, v, 4)$  при значении  $s = 2^{v-2}$ . Например, при  $N = 2^3$  параметрическое описание гиперкуба  $R_2(2^3, 3, 4)$  имеет следующий вид:  $\{1, 2, 6; 2, 6, 7\}$ .

При  $s = 1$  и  $g = 4$  класс графов  $R_s(N, v, g)$  совпадает с классом циркулянтных графов [5, 7, 8, 14, 15] размерности  $v/2$ , если степень  $v$  четная. Циркулянтные графы (в отечественной литературе известны также под названием  $D_n$ -графов) являются объектом интенсивных исследований в информатике,

Таблица 1

$N$	$v$	$s$	$g$	$d(d^*)$	$I_1, I_2, \dots, I_{2v}$
26	6	2	4	2 (2)	4, 6, 17, 19, 20, 22; 7, 8, 9, 12, 14, 18
884	6	2	4	6 (6)	119, 244, 342, 542, 640, 673; 8, 211, 382, 502, 765, 876
1024	10	2	4	4 (4)	45, 246, 277, 460, 479, 543, 564, 593, 701, 778; 68, 308, 323, 431, 481, 545, 716, 747, 956, 979
2048	10	2	4	5 (4)	41, 140, 213, 344, 419, 680, 1368, 1704, 1863, 1908; 185, 512, 648, 666, 1382, 1400, 1536, 1629, 1835, 2007
4096	12	2	4	5 (4)	48, 194, 1125, 1231, 1307, 1483, 1889, 1959, 1999, 3671, 3902, 4048; 342, 425, 1186, 2097, 2137, 2207, 2613, 2789, 2865, 2910, 2971, 3754
8192	12	2	6	6 (4)	777, 927, 1508, 2150, 2157, 2393, 3971, 4095, 6042, 6684, 7019, 7947; 245, 1173, 1330, 3990, 4097, 4202, 4221, 5799, 6035, 6862, 7265, 7415

теории графов и дискретной математике. Они реализованы в качестве сетей связи в суперкомпьютерных системах (Intel Paragon, Cray T3D и др.).

**Определение 2.** Циркулянтом называется ненаправленный граф  $G(N; s_1, s_2, \dots, s_{\sqrt{2}})$  с  $N$  вершинами, помеченными  $0, 1, 2, \dots, N-1$ , имеющими  $i \pm s_1, i \pm s_2, \dots, i \pm s_{\sqrt{2}} \pmod{N}$  вершины, смежные с каждой вершиной  $i$ .

Числа  $S = (s_i) (0 < s_1 < \dots < s_{\sqrt{2}} < N/2)$  являются образующими конечной абелевой группы автоморфизмов, связанной с графом.

Пусть  $nc_k$  определяет число вершин на ярусе  $k$  циркулянта  $G$  со степенью  $v$ ,  $nc_k^*$  — верхняя граница для  $nc_k$ . Обозначим через  $uc_k = \sum_{i=0}^k nc_i$  число вершин

в  $G$ , которое является достижимым самое большое за  $k$  шагов из вершины 0, через  $uc_k^*$  верхнюю границу для  $uc_k$ . Рекуррентные соотношения и формулы для вычисления  $nc_k^*$ ,  $uc_k^*$  в явном виде были получены в [5, 16–18]. Ниже приведены точные формулы [18]:

$$nc_k^* = \sum_{i=0}^{\sqrt{2}-1} C_{\sqrt{2}}^i C_{k-1}^{\sqrt{2}-i-1} 2^{\sqrt{2}-i} \text{ при } k \geq 1, nc_0^* = 1;$$

$$uc_k^* = \sum_{i=0}^{\sqrt{2}} C_{\sqrt{2}}^i C_k^{\sqrt{2}-i} 2^{\sqrt{2}-i}.$$

**Определение 3.** Циркулянтный граф  $G$  называется предельно оптимальным, если  $nc_k = nc_k^*$  для любого  $0 \leq k \leq d^* - 1$  и  $nc_{d^*} = N - uc_{d^*-1}^*$ , где диаметр  $d^*$  определяется из неравенств  $uc_{d^*-1}^* < N \leq uc_{d^*}^*$ . Граф  $G$  называется оптимальным, если  $d(G) = d^*$ .

Диаметр  $d^*$  есть точная нижняя граница для  $d(N) = \min_s \{d(G(N; S))\}$ .

Предельно оптимальные и оптимальные циркулянты имеют минимум  $d$  (и минимум  $d_{av}$  для предельно оптимальных циркулянтов), максимум надежности и связности [5, 16] и минимальное число шагов для реализации ал-

горитмов коммуникаций [6], но существуют не для всех значений  $N$  и  $v > 4$  [7, 8]. Для  $v = 4$  аналитическое решение проблемы существования и синтеза оптимальных циркулянтов найдено в [5, 19, 20].

**Теорема 7.** Для любого  $N > 4$  предельно оптимальный циркулянт  $G(N; s_1, s_2)$  существует и имеет образующие  $\{s, s+1\}$ , где  $s = \lfloor (\sqrt{2N-1}-1)/2 \rfloor$ ,  $\lfloor x \rfloor$  – ближайшее целое число к  $x$ . Точная нижняя граница диаметра  $d^* = \lceil (\sqrt{2N-1}-1)/2 \rceil, \lceil x \rceil$  – наименьшее целое число, большее или равное  $x$ .

Обзор зарубежных работ по проблемам построения оптимальных циркулянтов (направленных и ненаправленных) и их обобщений сделан в [7].

Для графов с обхватом  $g = 4$  могут быть получены точные формулы распределения вершин графов  $R_s(N, v, g)$  по ярусам.

**Теорема 8.** Пусть граф  $L(v, g)$  имеет степень  $v > 3$  и обхват  $g = 4$ . Тогда распределение величины  $n_k, k \geq 0$ , определяется следующим образом:

$$n_0 = 0, \quad k = 0; \quad n_k = \sum_{i=0}^{k-1} (-1)^i C_{2k-1-i}^{2k-1-2i} v^{k-i}, \quad k > 0. \quad (4)$$

**Доказательство.** Пусть  $g = 4$ . Тогда по теореме 6 рекуррентные соотношения для  $x_k$  и  $z_k$  будут иметь следующий вид:

$$\begin{aligned} x_0 &= 0, z_0 = 0 \text{ при } k = 0; \\ x_1 &= v, z_1 = 0 \text{ при } k = 1; \\ x_k &= x_{k-1}(v-1) - 2v, z_k = v \text{ при } k = 2; \\ x_k &= x_{k-1}(v-1) + z_{k-1}(v-2) - 2z_k, \\ z_k &= x_{k-2}(v-2) + z_{k-2}(v-3) \text{ при } k \geq 3. \end{aligned}$$

Учитывая, что  $n_k = x_k + z_k$ , из рекуррентных соотношений получаем  $n_k = z_{k+1}$  и  $x_k = n_k - n_{k-1}$  для  $k > 0$ . Отсюда выводим следующее рекуррентное соотношение для  $n_k$ , имеющее место при обхвате 4:

$$n_k = (n_{k-1} - n_{k-2})(v-1) + n_{k-3} \text{ при } k \geq 3. \quad (5)$$

Индукцией по  $k$  докажем справедливость формулы (4).

При  $k = 1$  и  $k = 2$  справедливость (4) проверяется непосредственно. Пусть до  $k$  включительно формула (4) имеет место. Покажем, что она выполняется для  $k+1$ .

Используя рекурсию (5), запишем  $n_{k+1}$  в следующем виде:

$$\begin{aligned} n_{k+1} &= \sum_{i=0}^{k-1} (-1)^i C_{2k-1-i}^{2k-1-2i} v^{k+1-i} - \sum_{i=0}^{k-1} (-1)^i C_{2k-1-i}^{2k-1-2i} v^{k-i} - \\ &- \sum_{i=0}^{k-2} (-1)^i C_{2k-3-i}^{2k-3-2i} v^{k-i} + \sum_{i=0}^{k-2} (-1)^i C_{2k-3-i}^{2k-3-2i} v^{k-1-i} + \\ &+ \sum_{i=0}^{k-3} (-1)^i C_{2k-5-i}^{2k-5-2i} v^{k-2-i}. \end{aligned}$$

Группируем коэффициенты, находящиеся при одинаковых степенях  $v$ :

$$\begin{aligned}
n_{k+1} = & C_{2k-1}^{2k-1} v^{k+1} + \\
& + [-C_{2k-2}^{2k-3} - C_{2k-1}^{2k-1} - C_{2k-3}^{2k-3}] v^k + \\
& + [C_{2k-3}^{2k-5} + C_{2k-2}^{2k-3} + C_{2k-4}^{2k-5} + C_{2k-3}^{2k-3}] v^{k-1} + \\
& + [-C_{2k-4}^{2k-7} - C_{2k-3}^{2k-5} - C_{2k-5}^{2k-7} - C_{2k-4}^{2k-5} + C_{2k-5}^{2k-5}] v^{k-2} + \\
& + [C_{2k-5}^{2k-9} + C_{2k-4}^{2k-7} + C_{2k-6}^{2k-9} + C_{2k-5}^{2k-7} - C_{2k-6}^{2k-7}] v^{k-3} + \dots + \\
& + [(-1)^{k-2} C_{k+1}^3 - (-1)^{k-3} C_{k+2}^5 - (-1)^{k-3} C_k^3 + (-1)^{k-4} C_{k+1}^5 + (-1)^{k-5} C_k^5] v^3 + \\
& + [(-1)^{k-1} C_k^1 - (-1)^{k-2} C_{k+1}^3 - (-1)^{k-2} C_{k-1}^1 + (-1)^{k-3} C_k^3 + (-1)^{k-4} C_{k-1}^3] v^2 + \\
& + [-(-1)^{k-1} C_k^1 + (-1)^{k-2} C_{k-1}^1 + (-1)^{k-3} C_{k-2}^1] v.
\end{aligned}$$

Преобразуя выражения при степенях  $v$ , получим следующие коэффициенты разложения для  $n_{k+1}$ :  $C_{2k+1}^{2k+1} v^{k+1}$ ,  $-C_{2k}^{2k-1} v^k$ ,  $C_{2k-1}^{2k-3} v^{k-1}$ ,  $-C_{2k-2}^{2k-5} v^{k-2}$ ,  $C_{2k-3}^{2k-7} v^{k-3}$ , ...,  $(-1)^{k-2} C_{k+3}^5 v^3$ ,  $(-1)^{k-1} C_{k+2}^3 v^2$ ,  $(-1)^k C_{k+1}^1 v$ .

Свертывая данное выражение, получим (4). Теорема доказана.

Приведем формулы для некоторых значений  $n_k$  (справа для сравнения – те же значения для циркулянтных графов):

$$\begin{aligned}
n_0 &= 0; & nc_0^* &= 1; \\
n_1 &= v; & nc_1^* &= v; \\
n_2 &= v^2 - 2v; & nc_2^* &= 1/2v^2; \\
n_3 &= v^3 - 4v^2 + 3v; & nc_3^* &= 1/6v^3 + 1/3v; \\
n_4 &= v^4 - 6v^3 + 10v^2 - 4v; & nc_4^* &= 1/24v^4 + 1/3v^2; \\
n_5 &= v^5 - 8v^4 + 21v^3 - 20v^2 + 5v; & nc_5^* &= 1/60v^5 - 1/6v^4 + 4/3v^3 - 10/3v^2 + 17/5v.
\end{aligned}$$

При сравнении значений  $n_k$ , полученных с помощью теоремы 8, со значениями  $nc_k$  для циркулянтных графов видно, что величины  $n_k$  совпадают с величинами  $nc_k$  для циркулянтов степени 4, а при  $v > 4$  превосходят их. Таким образом, теоретически возможно существование графов  $R_s(N, v, g)$  степени  $v \geq 6$  с таким же обхватом  $g = 4$ , как у циркулянтов, но лучших по диаметру (и среднему расстоянию) при прочих равных параметрах.

Такие графы были найдены экспериментально при задании числа классов эквивалентности искомых графов  $s = 2$ . В табл. 1 приведены примеры описаний полученных графов обхвата 4 для  $N = 26$  и  $N = 884$  и их диаметры (2 и 6). Диаметры наилучших возможных циркулянтов с теми же параметрами  $N, v, g$  равны соответственно 3 и 9.

Таблица 2

$N = 2^v$	Гиперкубы		Циркулянты			$L(N, v, g)$ -графы			
	$v = d$	$d_{av}$	$v$	$d^*(N)$	$d_{av}^*$	$v$	$g$	$d^*(N)$	$d_{av}^*$
64	6	3,0	6	4	2,5	6	6	3	2,29
256	8	4,0	8	4	3,3	8	6	3	2,7
512	9	4,5	8	5	4,02	9	6	3	2,81
1024	10	5,0	10	5	4,04	10	6	4	3,01
2048	11	5,5	10	6	4,7	11	6	4	3,47
4096	12	6,0	12	6	4,68	12	6	4	3,57
8192	13	6,5	12	6	5,34	13	6	4	3,78
16384	14	7,0	14	6	5,38	14	6	4	3,83
32768	15	7,5	14	7	6,09	15	6	4	3,89
65536	16	8,0	16	7	6,12	16	6	5	4,06
131072	17	8,5	16	8	6,73	17	6	5	4,39
262144	18	9,0	18	8	6,75	18	6	5	4,62
1048576	20	10,0	20	8	7,41	20	6	5	4,85
16777216	24	12,0	24	10	8,76	24	6	6	5,56
268435456	28	14,0	28	11	10,15	28	6	6	5,94

4. Исследование структурных показателей графов  $R_s(N, v, g)$ . В этом разделе исследуются структурные показатели графов  $R_s(N, v, g)$ : диаметр и среднее расстояние – и проводится сравнение по этим параметрам данных графов, и в частности многомерных циркулянтов, с такой популярной топологией для параллельных ВС, как гиперкубы.

В табл. 2 представлен фрагмент результатов сравнения гиперкубов, графов  $R_s(N, v, g)$  ( $g = 6$ ,  $s > 1$ ) и циркулянтов по степени ( $v$ ), диаметру ( $d$ ) и среднему расстоянию ( $d_{av}$ ) при одинаковом числе вершин графа  $N = 2^v$ . Величина  $d^*(N)$  есть точная нижняя граница диаметра графов  $R_s(N, v, g)$ , которая вычисляется в случае циркулянтных графов из выражения для  $\text{isc}_k^*$ . Для проведения корректного сравнения степень циркулянта берется равной степени гиперкуба или в случае нечетной степени меньше на одну единицу.

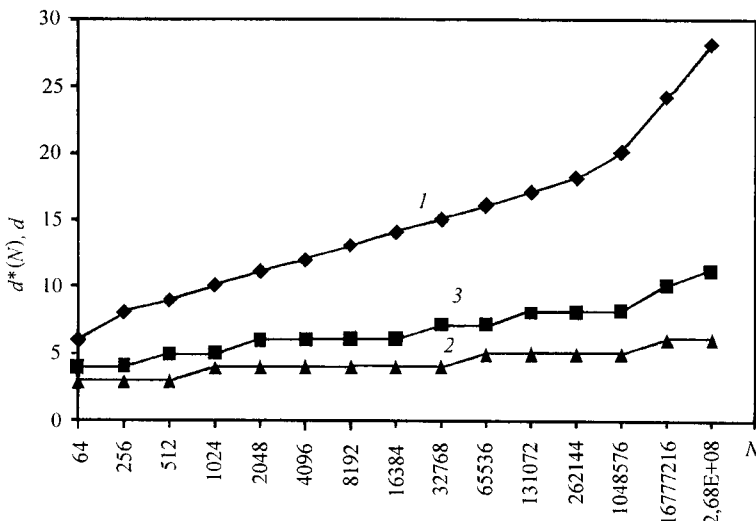
На рис. 3 представлены графики зависимости диаметра гиперкубов (кривая 1), точных нижних границ диаметров графов  $R_s(N, v, g)$  (кривая 2) и циркулянтов (кривая 3) как функций от  $N$ .

Характер изменения точной нижней границы диаметра циркулянтных графов до  $N \leq 2^{163}$  выражается следующей аппроксимационной формулой:

$$d^*(N) = a + b \ln N = a + b_1 v,$$

где  $a = 2,123$ ;  $b = 0,467$ ;  $b_1 = 0,324$ .

Для гиперкубов диаметр  $d = a_2 + b_2 \ln N$ , где  $a_2 = 3,639$ ;  $b_2 = 1,443$ .



3. Корнеев В. В., Монахов О. Г. Графы межмашинных связей однородных вычислительных систем // Изв. АН СССР. Техн. кибернетика. 1980. № 2. С. 195.
4. Димитриев Ю. К. Анализ самодиагностических свойств структур распределенных живучих вычислительных систем // Автометрия. 1996. № 5. С. 71.
5. Boesch F. T., Wang J.-F. Reliable circulant networks with minimum transmission delay // IEEE Trans. Circuits Syst. 1985. **CAS-32**. P. 1286.
6. Монахова Э. А., Монахов О. Г. Коллективные обмены в циркулянтных сетях параллельных вычислительных систем // Автометрия. 1997. № 6. С. 97.
7. Bermond J.-C., Comellas F., Hsu D. F. Distributed loop computer networks: a survey // Journ. Parallel Distributed Comput. 1995. **24**. P. 2.
8. Monakhova E. A. Optimal circulant computer networks // Proc. Internat. Conf. on Parallel Comput. Technolog., PaCT-91. Novosibirsk, USSR, 1991. P. 450.
9. Монахов О. Г. Параметрическое описание структур однородных вычислительных систем // Вычислительные системы. Новосибирск, 1979. Вып. 80. С. 3.
10. Preparata F. P., Vuillemin J. The cube-connected cycles: a versatile network for parallel computation // Commun. ACM. 1981. **24**. P. 300.
11. Arden B. W., Lee H. Analysis of chordal ring networks // IEEE Trans. Comput. 1981. **C-30**. P. 291.
12. Kwai D.-M., Parhami B. Tight bounds on the diameter of Gaussian cubes // Computer Journ. 1998. **41**, N 1. P. 52.
13. Kwai D.-M., Parhami B. A generalization of hypercubic networks based on their chordal ring structures // Parallel Process. Lett. 1996. **6**, N 4. P. 469.
14. Воробьев В. А. Простейшие структуры однородных вычислительных систем // Вычислительные системы. Новосибирск, 1974. Вып. 60. С. 35.
15. Muzychuk M. E., Tinhofer G. Recognizing circulant graphs of prime order in polynomial time // Electronic Journ. of Combinatorics. 1998. **R25**, 5(1).
16. Корнеев В. В. О макроструктуре однородных вычислительных систем // Вычислительные системы. Новосибирск, 1974. Вып. 60. С. 17.
17. Wong C. K., Coppersmith D. A combinatorial problem related to multimodule memory organizations // J. Assoc. Comput. Mach. 1974. **21**. P. 392.
18. Wong C. K., Maddocks J. W. A generalized Pascal's triangle // Fibonacci Quart. 1975. **13**. P. 134.
19. Монахова Э. А. Об аналитическом задании оптимальных двумерных диофантовых структур однородных вычислительных систем // Вычислительные системы. Новосибирск, 1981. Вып. 90. С. 81.
20. Bermond J.-C., Illiades G., Peyrat C. An optimization problem in distributed loop computer networks // Third Internat. Conf. on Combinatorial Math., June 1985. N. Y., USA: Ann. New York Acad. Sci, 1989. **555**. P. 45.
21. Monakhova E. A., Monakhov O. G., Mukhoed E. V. Genetic construction of optimal circulant network designs. "Evolutionary image analysis, signal processing and telecommunications" // Proc. First European Workshops EvoIASP'99 and EuroEcTel'99. Goteborg, Sweden: Springer LNCS, 1999. **1596**. P. 215.

*Институт вычислительной математики  
и математической геофизики СО РАН,  
E-mail: monakhov@rav.sccc.ru*

*Поступила в редакцию  
3 июня 1999 г.*